

读者来信

关于四连杆打纬运动学的讨论

对四连杆打纬运动学的分析研究已作了不少工作。但从实际情况来看，对有些问题的分析似乎还不够严格。所以，还有继续讨论的必要。

一、轴向与非轴向打纬

1. 问题的由来

众所周知，四连杆打纬有轴向与非轴向之分。而非轴向打纬，又有非轴向偏上与偏下之分。轴向与非轴向，偏上或偏下，在打纬运动学研究上占有重要位置，但如何加以判别，以往是不够严格的，以K251（或K252）与1511为例，非轴向偏度 e 值，几本大学的教材，就有几种数据或缺此数据（见下表）。形成这种状况的主要原因是对四根连杆的长短和非轴向偏度的关系缺乏正确的理论分析，判断机构的轴向或非轴向，有时用作图法，然而作图法的精度是有限的。为此，应建立一定的关系式。

不同资料非轴向偏度 e 值

机型	资料来源	R	L	B	D_x	D_y	R/L	e
K251 (K252)	[1]							11.8
	[2]							-12
	[3]	65	525	660	635	565	1/8.1	-16
	[4]							12
	[5]							/
5111	[1]							14.5
	[2]							-20.6
	[3]	70	289	685	410	632	1/4.1	-20.6
	[4]							16.4
	[5]							-20.6

注：表中[1]、[2]、[3]、[4]、[5]见本文参考资料。 R 为曲轴半径， L 为牵手长度， B 为牵手栓到摇轴距离， D_x 为曲轴与摇轴的水平距离， D_y 为曲轴与摇轴的垂直距离。

2. 建立判别关系

见图1， O' 为摇轴中心， O （或 $O_上$ 、 $O_下$ ）为曲轴中心。如保持 R 、 L 、 B 的长度不变，摇轴位置 O' 不变，牵手栓前心位置 C 不变，仅改变 D 的长度，可

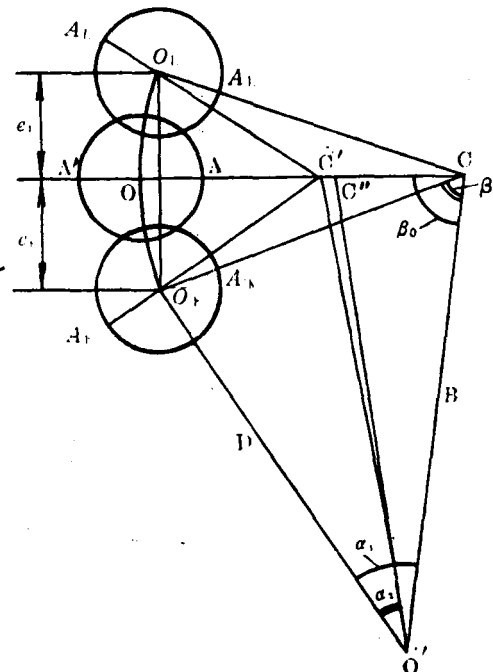


图1 轴向与非轴向打纬的关系

得到轴向打纬，非轴向偏上及偏下三种打纬机构，且非轴向偏度 $e_{\pm} = |\epsilon_{\mp}|$ 。

设定：①前心时 L 与 B 的夹角为 β （以 O' 为例）；②箱座摆动形成等腰 $\Delta O'CC'$ （或 C'' ）的底角为 β_0 。

则判别打纬机构性质可用以下三式：

若 $\beta = \beta_0$ ，则此机构为轴向打纬；

$\beta > \beta_0$ ，则此机构为非轴向偏上打纬。

$\beta < \beta_0$ ，则此机构为非轴向偏下打纬。

3. 非轴向偏度计算

见图1，在 $\Delta O'OC$ 及 $\Delta O'OFC'$ 中分别有：

$$(L + R)^2 = B^2 + D^2 - 2BD\cos\alpha_1 \quad (1)$$

$$(L - R)^2 = B^2 + D^2 - 2BD\cos\alpha_2 \quad (2)$$

从(1)及(2)式中可求得 α_1 和 α_2 ，则 β_0 可从下式求得：

$$\beta_0 = [180 - (\alpha_1 - \alpha_2)]/2 \quad (3)$$

β 可从下式求出：

$$D^2 = (L + R)^2 + B^2 - 2(L + R)B\cos\beta \quad (4)$$

非轴向偏度 e 可从下式求得：

$$e = (L + R) \sin(\beta - \beta_0) \quad (5)$$

(5)式中，若 $\beta > \beta_0$ ，则 $e > 0$ ，为 $e_{上}$ 。反之，则 $e < 0$ ，为 $e_{下}$ 。

举例：①K251织机，用上表数据可算得 $\alpha_1 = 43.88^\circ$ ； $\alpha_2 = 32.48^\circ$ ； $\beta_0 = 84.3^\circ$ ； $\beta = 85.49^\circ$ ； $e_{上} = 12.55$ 。

②1511织机，同理可求得 $\alpha_1 = 28.41^\circ$ ； $\alpha_2 = 16.63^\circ$ ； $\beta_0 = 84.1^\circ$ ； $\beta = 86.73^\circ$ ； $e_{上} = 16.52$ 。

二、轴向打纬的运动学分析

以往对此问题的分析多数是设定数据后，对结果进行整体分析，这样就难以看出各因素对运动的影响，而在轴向与非轴向的关系上也缺乏有机联系，现用三角函数合成法来分析。

1. 位移的分析

由资料^[4]知，轴向打纬时牵手栓位移的方程是：

$$S_{\text{轴向}} = R(1 - \cos\alpha) + R^2 \sin^2\alpha / 2L \quad (6)$$

式中： $S_{\text{轴向}}$ 为牵手栓位移； α 为曲轴自前心起的转角。这里以 $\sin^2\alpha = (1 - \cos 2\alpha)/2$ 代入(6)式，得：

$$S_{\text{轴向}} = R[(1 - \cos\alpha) + R(1 - \cos 2\alpha)/4L] \quad (7)$$

经这样变换后，可把牵手栓位移看作是两个简谐运动之和，再放大 R 倍。因此， $S_{\text{轴向}}$ 的变化状况就取决于这两个简谐运动，为此设：

$$S_1 = (1 - \cos\alpha), S_2 = R(1 - \cos 2\alpha)/4L$$

$$\text{则: } S_{\text{轴向}} = R(S_1 + S_2)$$

可以看出， S_1 的振幅为1，其运动速度就是曲轴的转速($\alpha = \omega t$ ， ω 为曲轴转速)，而 S_2 的速度则是曲轴转速的两倍，振幅不是一个定值，它随 $R/4L$ 而异，因 $R < L$ ，故 $R/4L < 1$ ，可见 S_2 的振幅一定小于1。故 $S_{\text{轴向}}$ 是一个低速高振幅与另一个高速低振幅的简谐运动的叠加，见图2。图中上方是综框方向，下方是织口方向， $S_{\text{轴向}}$ 就是在 S_1 基础上附加了一个 S_2 ，因两者均是正号，故 $S_{\text{轴向}}$ 为单向增加，其中在 90° 及 270° 处增加最多，而在 0° ， 180° 及 360° 没有增加。这一现象可想像为一个弹性膜在 0° ， 180° ， 360° 三处固定，在薄膜下方充气使它向上凸起，上凸的程度则随 R/L 而异， R/L 增大，则上凸较多。在织造工艺上可理解为牵手越短，则 R/L 增大，筘座在后心附近停留时间增多，增加了梭子飞过梭口的时间，这对高速织机及阔幅织机尤为必要，从图2还可看出，轴向打纬的位移规律是以 180° 位置为对称轴的对称曲线。

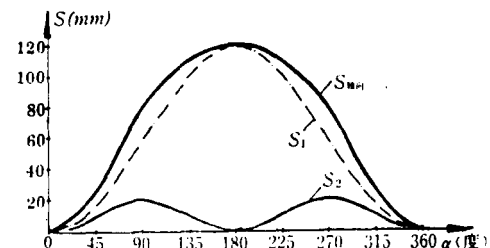


图2 轴向打纬的位移合成
注： $R = 60\text{mm}$ ， $L = 90\text{mm}$ （以下各图皆同）。

R/L 值对丝织机的意义：丝织机属长牵手打纬， $R/L \approx 1/8$ ，则 $R/4L = 3\%$ ，该值与1相比是一个很小的数，故对长牵手四连杆打纬机构而言， S_2 的振幅完全可以略而不计，则 $S_{\text{轴向}} = S_1$ ，故筘座运动基本上就是一个简谐运动，前心处运动不快，后心处运动不慢，始终处于不停的运动之中。

2. 速度的分析

(7)式对时间的微分，可得牵手栓的速度

$$V_{\text{轴向}} = R\omega(\sin\alpha + R\sin 2\alpha/2L) \quad (8)$$

$$\text{设 } V_1 = \sin\alpha, V_2 = R\sin 2\alpha/2L$$

$$\text{则 } V_{\text{轴向}} = R\omega(V_1 + V_2)$$

上式可理解为 $V_{\text{轴向}}$ 是两条不同速度、振幅的正弦曲线叠加再放大 $R\omega$ 倍，其中 V_1 是高振幅低速度， V_2 是低振幅高速度，见图3。这里的 V_1 与 V_2 叠加有时是正负相消的，在 0° 、 90° 、 180° 、 270° 和 360° 处，因 $V_2 = 0$ 故 $V = V_1$ 。在 0° 附近（指 $270^\circ \rightarrow 0^\circ \rightarrow 90^\circ$ ） V_1 与 V_2 同号，故 $V_{\text{轴向}}$ 增加，即前心附近筘座运动速度快，在 180° 附近（指 $90^\circ \rightarrow 180^\circ \rightarrow 270^\circ$ ） V_1 与 V_2 异号，故 $V_{\text{轴向}}$ 减小，即后心附近速度减慢，这可以理解为 $V_{\text{轴向}}$ 是 V_2 对 V_1 扭曲的结果，没有 V_2 作用时， V_1 在 90° 及 270° 处均是左右对称，由于 V_2 的作用使 V_1 对称性破坏，使 $V_{\text{轴向}}$ 变为前心处快后心处慢，这对打纬及引纬均是有利的，其有利程度是随 R/L 值的增大（牵手的缩短）而增加。

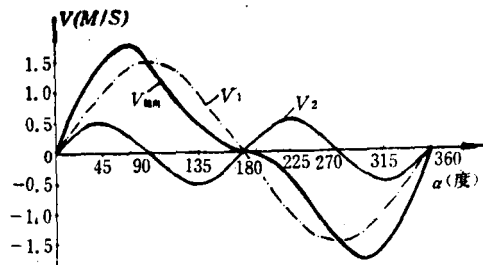


图3 轴向打纬的速度合成
注： $\omega = 25\text{S}^{-1}$ （以下各图皆同）。

的。从图中还可见，随 R/L 的增大， $\pm V_{max}$ 更靠近前心。对丝织物而言， $R/2L = 6\%$ ，故 V_2 对 $V_{轴向}$ 的影响仍很小，可不予考虑。所以，丝织机牵手栓的速度变化基本上是正弦运动。

3. 加速度的分析

对(8)式微分可得加速度

$$a_{轴向} = R\omega^2(\cos\alpha + R\cos2\alpha/L) \quad (9)$$

同前述方法，设 $a_1 = \cos\alpha$ ， $a_2 = R\cos2\alpha/L$ ，则 $a_{轴向} = R\omega^2(a_1 + a_2)$ 。 a_1 、 a_2 对 a 的影响见图 4。由图中可见， a_1 、 a_2 对 $a_{轴向}$ 的影响要比 V_1 、 V_2 和 S_1 、 S_2 对 $V_{轴向}$ 和 $S_{轴向}$ 的影响复杂得多。

$\alpha = 90^\circ, 270^\circ$ 时， $a_1 = 0$ ，故 $a_{轴向} = a_2$ ；

$\alpha = 45^\circ, 135^\circ, 225^\circ, 315^\circ$ 时， $a_2 = 0$ ，故 $a_{轴向} = a_1$ ；

$\alpha = 0^\circ, 360^\circ$ 时， $a_{轴向} = a_1 + a_2 = +a_{max}$ ；

$\alpha = 180^\circ$ 时， $a_{轴向} = a_1 - a_2 = -a_{max}$ 。

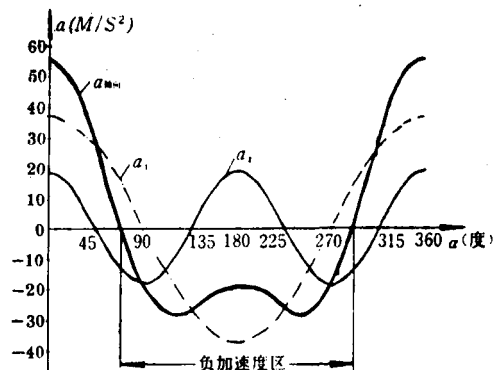


图 4 轴向打纬的加速度合成

这样除了可得到 $a_{轴向}$ 曲线上的 9 个点外，还可以找到两个 $a_{轴向} = 0$ 的位置，这就是在 $\alpha = 45^\circ \sim 90^\circ$ 和 $270^\circ \sim 315^\circ$ 处，因这里 a_1 、 a_2 反号，故 $a_{轴向} = 0$ 总在此区间中。由上所述，随 R/L 值的增大， $\pm V_{max}$ 更靠近前心，与 $\pm V_{max}$ 对应的是 $a_{轴向} = 0$ ，故 $a_{轴向} = 0$ 的位置，亦随 R/L 的增大而靠近前心。两个 $a_{轴向} = 0$ 所包括的负加速度区，就是梭子稳定飞行的区间，牵手越短，这个区间越大。加速度曲线也是在 180° （后心）处左右对称。

对丝织机而言 $R/L = 1/8.1 = 12\%$ ，该值相对于 1 而言也是一个较小的数，故 a_2 对 $a_{轴向}$ 的影响也较小，负加速度区增加不大，不能提供较长的梭子飞行区间，前心处加速度增加也不大，也不能提供较大打纬力。

①加速度多峰值问题：众所周知，随着牵手长度的缩短，在负加速度区出现的负加速度峰值不止一

个，那么牵手短到何等程度，将出现多峰呢？为此，可求加速度一次导数为零时的 α 值。

$$\begin{aligned} a_{轴向} &= R\omega^2(-\sin\alpha - 2R\sin2\alpha/L) = 0 \quad \text{即:} \\ -\sin\alpha - 2R\sin2\alpha/L &= 0 \end{aligned}$$

式中 $\alpha = 0^\circ, 180^\circ$ 时，肯定能满足上式。此外还有满足上式的可能情况如下：以 $\sin2\alpha = 2\sin\alpha\cos\alpha$ 代入，得 $\cos\alpha = -L/4R$ 。式中负号表明，此 α 存在于第 2、3 象限中。显然，上式存在的条件：

$$L/4R \leq 1 \quad \text{即 } L \leq 4R$$

上式表明，当牵手长度小于 4 倍曲柄长度时，将在第 2、3 象限内各出现一个加速度负峰值。

②举例：设 $L = 3R$ ，

$$\alpha = 0^\circ \text{ 时, } a_{轴向} = 1.33R\omega^2;$$

$$\alpha = 180^\circ \text{ 时, } a_{轴向} = -0.67R\omega^2;$$

$$\alpha = 138.6^\circ \text{ 及 } 221.4^\circ \text{ 时, } a_{轴向} = -0.71R\omega^2$$

附带提一下，以往把 $R/L > 1/3$ 定义为短牵手，不知根据何在？依据以上分析， $R/L \leq 1/4$ 是出现多峰值的分界线，故建议把 $R/L \leq 1/4$ 出现多峰值的打纬机构定义为短牵手打纬机构。

三、非轴向打纬运动学分析

1. 位移的分析

根据资料^[4]，非轴向打纬牵手栓位移的公式是：

$$\begin{aligned} S_{非轴向} &= \sqrt{(L+R)^2 - e^2} - L + e^2/2L \\ &\quad + R[R\sin^2(\alpha+\theta)/2L \\ &\quad - e\sin(\alpha+\theta)/L - \cos(\alpha+\theta)] \end{aligned} \quad (10)$$

式中： $\theta = \sin^{-1}e/(L+R)$ ，其他符号意义同前。

这里为便于分析，特作如下变换：①在(10)式中各加减一个 R ；②因 $\theta = \sin^{-1}e/(L+R)$ ，故令 $\sqrt{(L+R)^2 - e^2} = (L+R)\cos(\alpha+\theta)$ ，③将 $\sin^2(\alpha+\theta) = [1 - \cos2(\alpha+\theta)]/2$ 代入(10)式；④令 $[e^2/2L - (L+R)(1-\cos\theta)]/R = S_0$ 。经上述变换后，(10)式可表达为：

$$\begin{aligned} S_{非轴向} &= R\{S_0 + [1 - \cos(\alpha+\theta)] \\ &\quad + R[1 - \cos2(\alpha+\theta)]/4L \\ &\quad - e\sin(\alpha+\theta)/L\} \end{aligned} \quad (11)$$

在 R 、 L 、 e 为定值时， S_0 为常数。比较(11)与(7)式可见，轴向与非轴向位移的区别仅在于 e 的存在，(11)式中以 $(\alpha+\theta)$ 取代了(7)式中 α ，另外还多了一个常数项和一个正弦项。又再设： $S_1 = 1 - \cos(\alpha+\theta)$ ； $S_2 = R[1 - \cos2(\alpha+\theta)]/4L$ ； $S_3 = -e\sin(\alpha+\theta)/L$

$$\text{故有: } S_{非轴向} = R(S_0 + S_1 + S_2 + S_3) \quad (12)$$

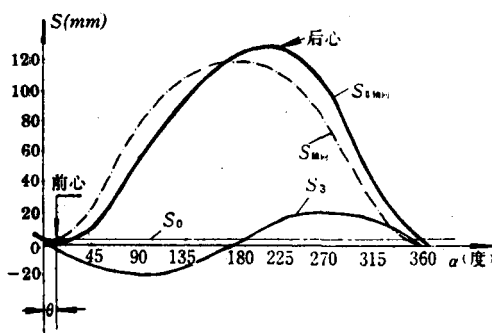


图 5 非轴向打纬位移合成
注: $e = 45\text{mm}$, $\theta = 12^\circ$ (以下各图皆同)。

因 $S_{\text{轴向}} = R(S_1 + S_2)$, 所以

$$S_{\text{非轴向}} = S_{\text{轴向}} + R(S_0 + S_3) \quad (13)$$

(13)式可用图 5 示之, 图中横坐标表示 $\alpha + \theta$ 。在横坐标为 θ (即 $\alpha = 0$) 处, 因 $S_{\text{轴向}} + S_0 = S_3$, 故 $S_{\text{非轴向}} = 0$, 此处即为前心, 由于 S_3 的作用, 后心不在 $\alpha + \theta = 180^\circ$ 处, 曲线也不左右对称, 且 $S_{\text{非轴向}} > S_{\text{轴向}}$, 在非轴向偏上时, 前心到后心的时间大于 180° 。

2. 速度的分析

将(11)式对时间微分, 可得速度:

$$V_{\text{非轴向}} = R\omega[\sin(\alpha + \theta) + R\sin 2(\alpha + \theta)/2L - e\cos(\alpha + \theta)/L] \quad (14)$$

同样, 令 $V_1 = \sin(\alpha + \theta)$, $V_2 = R\sin 2(\alpha + \theta)/2L$, $V_3 = -e\cos(\alpha + \theta)/L$ 。因 $V_{\text{轴向}} = R\omega(V_1 + V_2)$ 故

$$V_{\text{非轴向}} = V_{\text{轴向}} + R\omega V_3 \quad (15)$$

(15)式可用图 6 示之, 在非轴向偏上的情况下, $+V_{\text{max}}$ 比轴向打纬时减小, 而 $-V_{\text{max}}$ 则有所增加, $V = 0$ 处即为前、后心。

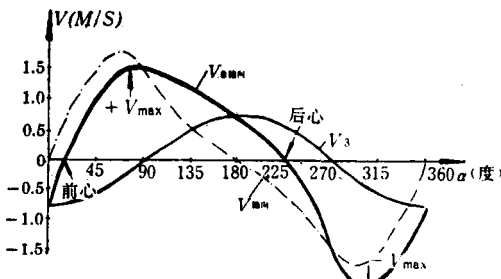


图 6 非轴向打纬的速度合成

3. 加速度分析

将(14)式对时间微分可得加速度

$$a_{\text{非轴向}} = R\omega^2[e\sin(\alpha + \theta) + R\cos 2(\alpha + \theta)/L] \quad (16)$$

$$+ e\sin(\alpha + \theta)/L]$$

同样令 $a_1 = \cos(\alpha + \theta)$, $a_2 = R\cos 2(\alpha + \theta)/L$,

$$a_3 = e\sin(\alpha + \theta)/L$$
。因 $a_{\text{轴向}} = R\omega^2(a_1 + a_2)$, 则

$$a_{\text{非轴向}} = a_{\text{轴向}} + R\omega^2 a_3 \quad (17)$$

(17)式可用图 7 示之, 由于 a_3 的作用, $a_{\text{轴向}}$ 的对称性被破坏, $+a_{\text{max}}$ 由 0° 移至前心, 两个负加速度极值不相等, 另一负加速度极值不明显。

e/L 值对丝织机的意义, 以 K251 为例, $L = 525$, $e = 12.55$, 则 $e/L = 0.02$, 此值甚小, 故 e 值对打纬起不了什么作用。若要 e 能对打纬运动产生影响, 只有在短牵手的条件下才能实现。

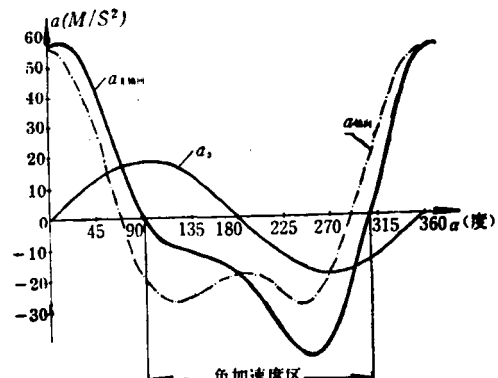


图 7 非轴向打纬的加速度合成

四、结论

1. 判别是否轴向打纬, 取得准确的非轴向偏度值, 使用本文计算法较为正确。

2. 研究 R/L 及 e/L 对四连杆打纬运动的影响使用三角函数合成法较为直观。

以上看法不知是否正确, 愿通过你刊向同行专家请教。

参 考 资 料

- [1] 陈元甫主编:《机织工艺与设备》,下册, p.270, 纺织工业出版社, 1984 年。
- [2] 兰锦华主编:《毛织学》,下册, p.201, 纺织工业出版社, 1987 年。
- [3] 浙江丝绸工学院主编:《丝绸机械设计》, p.163, 纺织工业出版社, 1983 年。
- [4] 浙江丝绸工学院, 苏州丝绸工学院编:《丝织学》,下册, p.101, 纺织工业出版社, 1982 年。
- [5] 刘裕瑄、陈人哲编:《纺织机械设计原理》, p.79, 纺织工业出版社, 1981 年。

(浙江丝绸工学院 王光华)